

## ارزیابی پرتوزایی طبیعی در نمونه‌های خاک کناره‌های رودخانه دز در استان خوزستان

گلزارده حاجی علیانی، مهدی نصری نصرآبادی، سید مجتبی مستجاب الدعواطی

دانشکده علوم و فناوری‌های نوین، دانشگاه اصفهان، اصفهان

پست الکترونیکی: mnrasrabi@ast.ui.ac.ir

(دریافت مقاله: ۱۳۹۲/۳/۲۲؛ دریافت نسخه نهایی: ۱۳۹۳/۳/۱۲)

چکیده

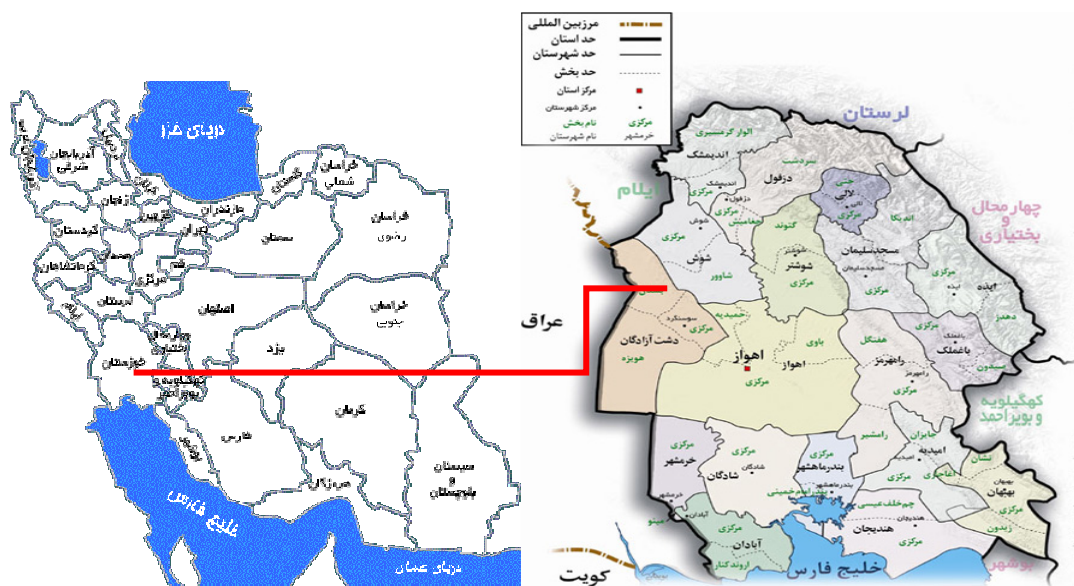
ویژگی‌های جغرافیایی هر منطقه جهان بر روی غلظت فعالیت مواد پرتوزای طبیعی نظری اورانیوم، توریوم و پتانسیم تأثیر می‌گذارد. در این پژوهش ۲۶ نمونه خاک از کناره‌های رودخانه دز-استان خوزستان با روش تصادفی جمع‌آوری و برای مراحل آماده‌سازی به آزمایشگاه منتقل شدند. با به کارگیری آشکارساز فوق خالص ژرمانیوم (HPGE) نوع P با بازدهی نسبی ۳۸٪ غلظت، فعالیت عنصر پرتوزا در هر نمونه اندازه‌گیری شد. نتایج نشان داد که گستره تغییرات غلظت فعالیت پرتوزایی  $^{226}\text{Ra}$ ,  $^{222}\text{Th}$ ,  $^{232}\text{Th}$  و  $^{40}\text{K}$  به ترتیب در نمونه‌های خاک  $^{15,97} \text{Bq kg}^{-1}$ ,  $^{32,87} \text{Bq kg}^{-1}$ ,  $^{25,21} \text{Bq kg}^{-1}$  و  $^{19,71} \text{Bq kg}^{-1}$  بودند. در حالی که مقادیر میانگین آنها به ترتیب  $^{8,04} \text{Bq kg}^{-1}$ ,  $^{471,35} \text{Bq kg}^{-1}$  و  $^{106,82} \text{Bq kg}^{-1}$  بود. نتایج آماری در سطح خطای ۵٪ نشان داد که مقادیر میانگین غلظت فعالیت این مواد پرتوزا کمتر از مقادیر میانگین غلظت فعالیت تعریف شده در جهان و ایران می‌باشند. نتایج حاصل از محاسبات مربوط به عوامل پرتو شناختی هیچ خطر پرتوزایی را برای منطقه مورد نظر تعریف شده در جهان و ایران نمی‌باشد. نتایج حاصل از محاسبات مربوط به عوامل پرتو شناختی هیچ خطر پرتوزایی را برای منطقه مورد نظر پیش‌بینی نمی‌کند.

واژه‌های کلیدی: رودخانه دز، خوزستان، بیناب‌سنگی گاما، مواد پرتوزای طبیعی، فعالیت ویژه، خاک

### ۱. مقدمه

بر روی اندازه‌گیری غلظت آلاینده‌های پرتوزا در نمونه‌های محیطی مناطق مختلف جهان صورت گرفته است [۱-۴]. پژوهش حاضر با به کارگیری روش ساده، غیر مخرب و سریع بیناب‌سنگی گاما [۱۹] به مطالعه غلظت آلاینده‌های پرتوزا در کناره‌های رودخانه دز واقع در شمال استان خوزستان می‌پردازد. قابل ذکر است که رودخانه مذکور نقش اساسی در تأمین آب مورد نیاز در بخش‌های کشاورزی، صنعت و آب شرب این منطقه دارد که این امر بر اهمیت مطالعه کنونی می‌افزاید. شکل ۱ موقعیت جغرافیایی منطقه مورد مطالعه را نشان می‌دهد.

غلظت مواد پرتوزای طبیعی نظری اورانیوم، توریوم و پتانسیم در نواحی مختلف جهان، تحت تأثیر ویژگی‌های جغرافیایی آن منطقه است و تأثیر انکارناتیزیر پرتوزایی آنها بر محیط‌زیست، ارزیابی آلاینده‌های رادیواکتیو را به مسئله‌ای حیاتی تبدیل کرده است [۲]. رودخانه‌ها که یکی از مهمترین منابع آب شیرین و منبع ارزی‌های تجدیدپذیر هستند، از طریق هوازدگی سنگ‌های پوسته‌ای بر روی زمین، بارش و منابع آب زیرزمینی به آلاینده‌های پرتوزا آلوده می‌گردند [۳]. امروزه مطالعات گسترده‌ای



شکل ۱. (رنگی در نسخه الکترونیکی) منطقه مورد مطالعه.

توسط نمونه‌های استاندارد IAEA-RG-Set و IAEA-Soil-۶ محاسبه گردید. در این پژوهش از نرم‌افزار OMNIGAM تحت ویندوز Das برای واکافت نمونه‌های خاک استفاده شد. پس از به دست آوردن فعالیت مواد پرتوزا و دیگر پارامترها، تجزیه و تحلیل آماری نتایج به کمک نرم‌افزار SPSS ۱۹ انجام گرفت.

### ۳. یافته‌ها

#### ۱.۳. تعیین فعالیت ویژه عناصر پرتوزا در نمونه‌های محیطی خاک

در جدول ۱ مقادیر میانگین و گستره تغییرات فعالیت مواد پرتوزا مورد بررسی در منطقه مورد نظر به علاوه مقادیر آنها در مقیاس‌های جهانی و در ایران ارایه شده است [۱۷]. شکل‌های (۲) تا (۴) نمودارهای مقایسه‌ای فعالیت ویژه عناصر رادیوم، توریوم و پتاسیم اندازه‌گیری شده در نمونه‌ها را با مقادیر میانگین فعالیت ویژه تعریف شده در جهان و ایران را نشان می‌دهد.

آزمون میانگین یک جامعه برای میانگین فعالیت ویژه رادیوم نشان داد که در سطح خطای ۵ درصد، نسبت به میانگین فعالیت جهانی و میانگین فعالیت برآورده شده در ایران اختلاف معنی‌داری وجود دارد.

### ۲. روش‌ها

#### ۱.۲. نمونه‌برداری و آماده‌سازی نمونه‌ها

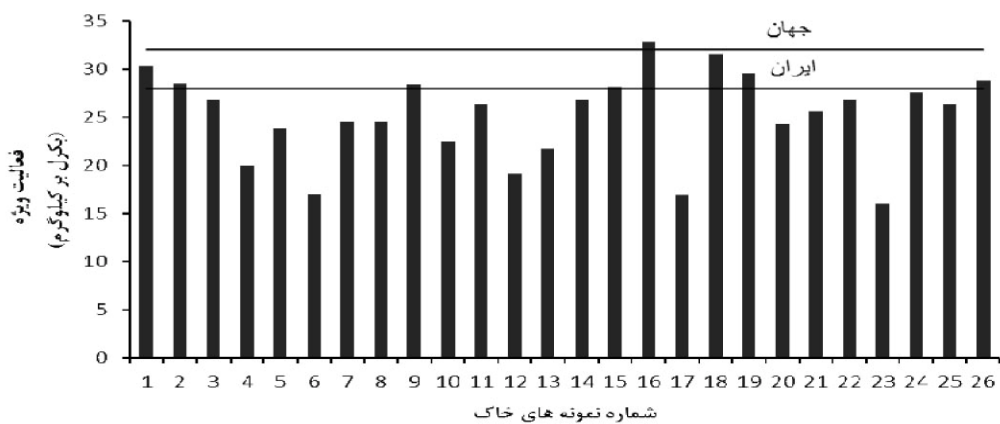
برای بررسی غلظت عناصر پرتوزا طبیعی، ۲۶ نمونه خاک در عمق ۵ cm زیر سطح زمین از کناره‌های رودخانه دز-استان خوزستان برداشته شد. نقاط نمونه‌برداری به صورت تصادفی از دریاچه سد دز تا بند قیران، محل تلاقی رودخانه دز و رودخانه کارون، انتخاب شدند. برای انجام نمونه‌برداری و کلیه مراحل کار، دستورالعمل‌های آژانس بین‌المللی انرژی اتمی رعایت شده است [۲۰].

#### ۲.۲. روش بیناب‌سنگی گاما

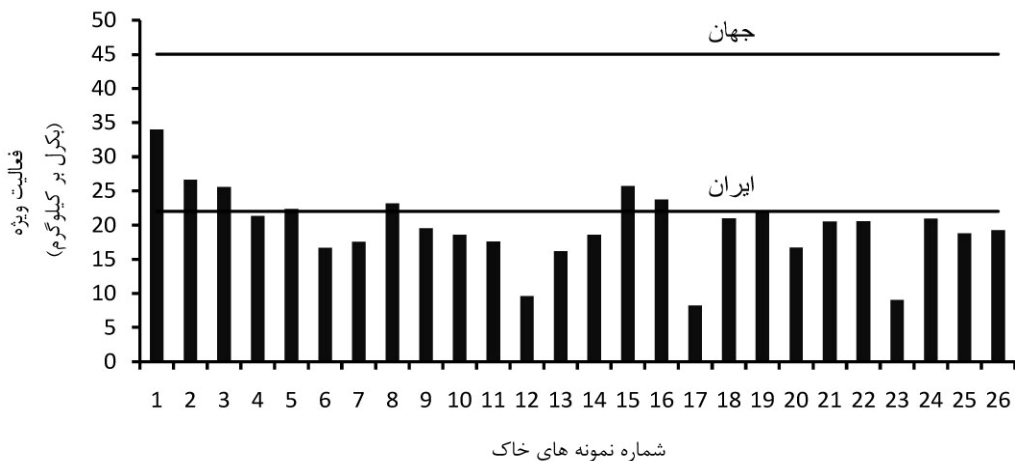
برای تجزیه کمی و کیفی نمونه‌ها از سیستم بیناب‌سنگی گاما با استفاده از آشکارساز فوق خالص ژرمانیوم - نوع P با بازدهی نسبی ۳۸٪ استفاده شد. نمونه‌های استاندارد ۶ IAEA-Soil-۶ و RGK-۱ (شامل نمونه‌های IAEA-RG-Set و RGU-۱) برای بررسی عناصر پرتوزا پتاسیم، رادیوم و توریوم در نمونه‌های خاک مورد استفاده قرار گرفتند [۱۱]. فعالیت پرتوزا توریوم و رادیوم به ترتیب از دختر هسته‌های اکتinium-۲۲۸، سرب-۲۱۴ و پتاسیم-۴۰ با انرژی ۱۴۶۱ keV تعیین شدند [۲۱]. برای اعتبارسنجی نتایج، غلظت عنصر رادیوم

جدول ۱. مقایسه فعالیت عناصر پرتوزایی طبیعی در مقیاس‌های جهانی و در منطقه مورد مطالعه ( $Bqkg^{-1}$ ).

عنصر پرتوزا	جهان		ایران		منطقه مورد مطالعه	
	گستره تغییرات	میانگین	گستره تغییرات	میانگین	گستره تغییرات	میانگین
اورانیوم (رادیوم)	۱۵,۹۴±۰,۲۲-۳۲,۸۷±۰,۵۲	۲۵,۲۱±۰,۸۸	۸-۵۵	۲۸	۱۷-۶۰	۳۲
توریوم	۸,۰۴±۰,۴۶-۳۳,۸۵±۱,۳۴	۱۹,۷۱±۱,۰۷	۵-۴۲	۲۲	۱۱-۶۴	۴۵
پتاسیم	۱۰۶,۸۲±۳,۷۲-۴۷۱,۳۵±۱۰,۰۸	۲۸۹,۵۷±۱۶,۵۱	۲۵۰-۹۸۰	۶۴۰	۱۴۰-۸۵۰	۴۲۰



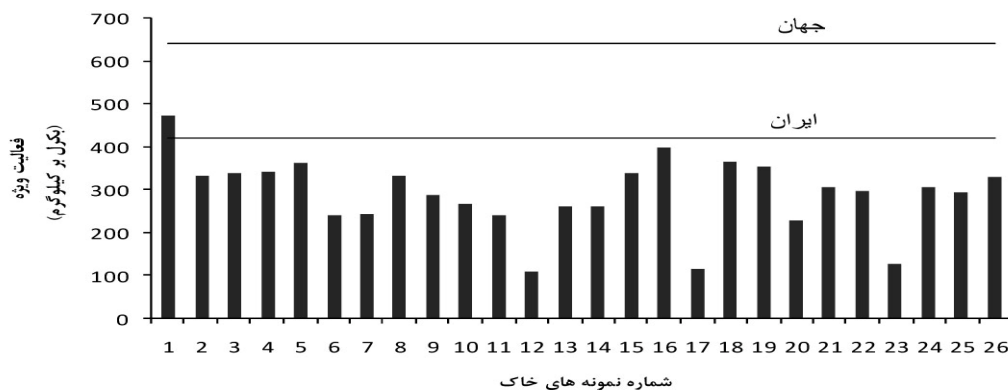
شکل ۲. نمودار مقایسه‌های فعالیت ویژه رادیوم با مقادیر جهانی.



شکل ۳. نمودار مقایسه‌های فعالیت ویژه توریوم با میانگین ایران.

مشاهده نمی‌شود.  
همان طور که از شکل ۴ ملاحظه می‌شود برای همه نمونه‌ها، به جز نمونه ۱ فعالیت ویژه پتاسیم پایین‌تر از مقدار جهانی است و برای تمام نمونه‌ها نسبت به میانگین در نظر گرفته شده در ایران کمتر می‌باشد. همچنین در سطح خطای ۰.۵

در ۰.۳۱٪ از نمونه‌ها، مقدار بالایی از فعالیت توریوم نسبت به میانگین ایران مشاهده شد. در سطح معنی داری ۰.۵٪ اختلافی بین مقدار میانگین فعالیت ویژه توریوم با مقدار میانگین جهانی وجود دارد در حالی که نسبت به میانگین فعالیت ویژه تعریف شده در ایران با سطح خطای ۰.۱٪ تفاوت معنی داری



شکل ۴. نمودار مقایسه‌ای فعالیت ویژه پتاسیم با مقادیر جهانی.

جدول ۲. ضرایب همبستگی پیدا شده بین مواد پرتوزای طبیعی در نمونه‌ها.

پتاسیم	توریوم			رادیوم		
	پیرسون	کای دو	پیرسون	کای دو	پیرسون	کای دو
۰,۷۶۹	۰,۵۹	۰,۷۲۶	۰,۵۳	۱	۱	رادیوم
۰,۹۳۷	۰,۸۷	۱	۱			توریوم
۱	۱					پتاسیم

۳.۳. محاسبه پارامترهای رادیولوژیکی برای نمونه‌های خاک به منظور ارزیابی خطرات تابش به خاطر وجود فعالیت مواد پرتوزای طبیعی در نمونه‌های مورد بررسی، پارامترهای مختلفی از قبیل میزان دز گامایی جذب شده در هوا، فعالیت معادل رادیوم و شاخص خطر خارجی تعریف می‌شوند، که مطابق روابط زیر مقادیر آنها به دست می‌آیند [۲۲ و ۲۳].

$$Ra_{eq} = A_{Ra} + 1/43 A_{Th} + 0/077 A_K \quad (1)$$

$$D(nGy h^{-1}) = 0/462 A_{Ra} + 0/604 A_{Th} + 0/0417 A_K \quad (2)$$

$$H_{ex} = A_{Ra}/370 + A_{Th}/259 + A_K/481 \leq 1 \quad (3)$$

که در آن  $A_{Ra}$  و  $A_{Th}$  و  $A_K$  به ترتیب فعالیت  $^{226}Ra$ ،  $^{232}Th$  و  $K$  بر حسب  $Bq kg^{-1}$  است. در معادله (1) فرض می‌شود که  $Bq kg^{-1}$  از رادیوم و  $Bq kg^{-1}$  از توریوم و  $Bq kg^{-1}$  از پتاسیم میزان دز گامایی مشابهی را ایجاد می‌کنند. مقادیر محاسبه شده پارامترهای پرتو شناختی در نمونه‌های جمع‌آوری شده در جدول ۳ آورده شده است.

فعالیت معادل رادیوم از  $115.09 \pm 7.19$  تا  $37.23 \pm 3.17 Bq/kg$  با مقدار میانگین  $75.7 \pm 8.4 Bq/kg$  تغییر

نیز بین مقدار میانگین فعالیت تعریف شده جهانی اختلاف معناداری مشاهده می‌شود.

### ۲.۳. محاسبه رابطه پسرفت خطی بین فعالیت عناصر پرتوزای طبیعی

تعیین رابطه بین عناصر پرتوزا به پیدا کردن منابع مشترک از توزیع مواد پرتوزا و به محاسبه غلاظت فعالیت یک عنصر از روی غلاظت فعالیت عنصر دیگر کمک می‌کند [۱۸]. این روابط از آزمون پسرفت خطی توسط نرم‌افزار SPSS19 به دست آمده است و در جدول ۲ نتایج آن به صورت خلاصه آورده شده است.

با توجه به جدول ۲ می‌توان ضرایب همبستگی، کای دو<sup>۱</sup> و پیرسون<sup>۲</sup>، خوبی بین عناصر پرتوزای طبیعی مشاهده کرد که علت پیدا شدن این ضرایب همبستگی بالا نیاز به تحقیقات زمین‌شناسی بیشتری دارد.

<sup>۱</sup>.q-Square

<sup>۲</sup>.Pearson

جدول ۳. عوامل پرتوشناسختی در نمونه‌های جمع‌آوری شده از ساحل رودخانه دز.

H <sub>ex</sub>	Doserate (nGy <sup>-1</sup> )	Ra <sub>eq</sub> (Bqkg <sup>-1</sup> )	کد نمونه‌های خاک
۰,۳۱	۵۴,۱۴±۱,۴۵	۱۱۵,۰۹±۷,۱۹	۱
۰,۲۵	۴۳,۰۸±۰,۹۷	۹۲,۰۸±۴,۸۴	۲
۰,۲۴	۴۱,۸۳±۱,۰۷	۸۹,۱۹±۵,۳۶	۳
۰,۲۱	۳۶,۳۳±۱,۳۵	۷۶,۷۱±۶,۶۷	۴
۰,۲۳	۳۹,۶۴±۰,۶۹	۸۳,۷۳±۳,۴۳	۵
۰,۱۶	۲۷,۹۲±۰,۵۲	۵۹,۳۲±۲,۶۱	۶
۰,۱۸	۳۲,۰۲±۰,۸	۶۸,۲۶±۳,۹۸	۷
۰,۲۲	۳۹,۰۳±۰,۸۵	۸۲,۹۸±۴,۴۸	۸
۰,۲۱	۳۶,۹۳±۰,۷	۷۸,۴۸±۳,۱۶	۹
۰,۱۹	۳۲,۷۶±۱,۰۱	۶۹,۶۶±۵,۰۲	۱۰
۰,۱۹	۳۲,۷۵±۰,۸۳	۶۹,۸۷±۴,۱۵	۱۱
۰,۱۱	۱۹,۰۸±۰,۷۳	۴۱,۰۶±۳,۷۰	۱۲
۰,۱۸	۳۰,۸۴±۱,۰۳	۶۵,۳۱±۵,۱۱	۱۳
۰,۲۰	۳۴,۴۳±۰,۶۳	۷۳,۳۶±۳,۱۴	۱۴
۰,۲۵	۴۲,۵۹±۱,۱۳	۹۰,۸۴±۵,۶۲	۱۵
۰,۲۶	۴۶,۰۲±۰,۸۲	۹۷,۲۳±۴,۰۷	۱۶
۰,۱۰	۱۷,۴۴±۰,۶۳	۳۷,۲۳±۳,۱۷	۱۷
۰,۲۴	۴۲,۴۴±۱,۳۳	۸۹,۵۷±۶,۵۹	۱۸
۰,۲۴	۴۲,۵۹±۱,۱۴	۸۸,۰۱±۵,۴۸	۱۹
۰,۱۸	۳۰,۸۱±۰,۷۱	۶۵,۷±۳,۵۲	۲۰
۰,۲۱	۳۶,۸۳±۰,۶۷	۷۸,۲۰±۳,۳۳	۲۱
۰,۲۱	۳۷,۰۸±۰,۷۲	۷۸,۸۴±۳,۶۲	۲۲
۰,۱۱	۱۸,۳۱±۰,۴	۳۹,۱۲±۲	۲۳
۰,۲۲	۳۸,۰۹±۰,۷۶	۸۰,۹۴±۳,۷۹	۲۴
۰,۲۰	۳۵,۷۸±۰,۷۴	۷۵,۸۳±۳,۶۷	۲۵
۰,۲۲	۳۸,۶۱±۰,۷۸	۸۱,۵۳±۳,۸۵	۲۶

#### ۴. بحث و نتیجه‌گیری

در این پژوهش توزیع آلاینده‌های پرتوزا در نوار ساحلی رودخانه دز در شمال استان خوزستان مورد بررسی قرار گرفت. در مجموع ۲۶ نمونه خاک با به کارگیری اصول نمونه‌برداری استاندارد جمع‌آوری شدند. نتایج حاصل از فعالیت مواد پرتوزا در نمونه‌ها بیانگر این است که نزدیک ۳۰٪ از نمونه‌ها دارای فعالیت توریوم و رادیوم بالاتری نسبت به مقدار میانگین فعالیت تعريف شده در ایران بود. در مورد فعالیت پتاسیم تنها نمونه ۱ متعلق به دریاچه سد دز نسبت به میانگین فعالیت تعريف شده در جهان بیشینه غلظت را نشان داد که به نظر می‌رسد به ساختار زمین‌شناسی منطقه بستگی دارد. علت حضور این آلاینده‌های طبیعی به عوامل مختلفی از جمله رفتار ژئوشیمیایی عناصر، حضور صنایع و فعالیت‌های کشاورزی در منطقه، عوامل

می‌کند و برای همه نمونه‌ها مقدار آن کمتر از مقدار بیشینه معرفی شده توسط ICRP<sup>۱</sup> می‌باشد (Bq/kg). میزان دز گامای جذب شده برای منطقه مورد مطالعه از ۱۷,۴۴ تا ۵۴,۱۴ nGy<sup>-1</sup> تغییر می‌کند و مقدار میانگین آن (۳۵,۶۶ nGy<sup>-1</sup>) کمتر از مقدار میانگین تعریف شده در مقیاس جهانی (۵۹ nGy<sup>-1</sup>) و در ایران (۵۳ nGy<sup>-1</sup>) می‌باشد [۱۷]. میزان خطر تابش خارجی، پارامتر پرتو شناختی دیگری است که درصد خطرپذیری افراد را در منطقه نشان می‌دهد. میزان این پارامتر در نمونه‌های انتخاب شده منطقه مورد مطالعه از ۰,۱۰ تا ۰,۳۱ با مقدار میانگین ۰,۲ تغییر می‌کند که در تمام نقاط نمونه‌برداری کمتر از ۱ می‌باشد.

<sup>۱</sup>. International Commission on Radiological Protection

۱۷ و ۲۳ با مقادیر ۱۰ تا ۱۱ درصد مشاهده شد و به طور کلی با توجه به عوامل پرتوشناسی در منطقه مورد مطالعه، هیچ گونه خطر پرتوزایی دیده نشد.

زمین‌شناختی و زیست‌محیطی بر می‌گردد. بیشترین میزان خطر خارجی در نمونه‌های: ۱، ۲، ۱۵ و ۱۶ با مقادیر حداقل ۲۵٪ و حداقل ۳۱٪ و کمترین میزان خطر خارجی در نمونه‌های: ۱۲

## مراجع

13. F Saghatchi *et al.*, *Radiat. Prot. Dosim.* **141** (2010) 86.
14. J Pourahmad *et al.*, *Environ. Toxicology* **23** (2008) 583.
15. S Hafezi, J Amidi, and A Attarilar, *Iran. Radiat. Res.* **3** (2005) 85.
16. M R Abdi, H Faghihian, A hasanzadeh, M kamali, *Radioanal and Nucl. Chem.* **270** (2006) 319.
17. M Abbaspour *et al.*, *Radiat. Prot. Dosim.* **142** (2010) 187.
18. R Faghihi, S Mehdizadeh, and S Sina, *Radiat. Prot. Dosim.* **145** (2011) 66.
19. H Yucel, M Cetiner, and H Demirel, *Nucl. Inst. Meth. Phys. Research Sect.* **413** (1998) 74.
20. W Strasse, *IAEA-TECDOC-1415* **375** (2004) 1.
21. H Al-Sulaiti, N Alkhomashi, N AL-Dahan, M Al-Dosari, D A Bradley, *Nucl. Inst. Meth. Phys. Research* **652** (2011) 915.
22. M Hasan *et al.*, *Water Air Soil Pollut.* **219** (2010) 129.
23. R Mehra *et al.*, *Environ. Earth. Sci.* **59** (2009) 1159.
1. R C Ramola *et al.*, *Radiol. Prot.* **28** (2008) 379.
2. N Damla, U Cevik, A I Koby, B Ataksor, and U Isik, *Environ. Monit. Assess.* **160** (2010) 401.
3. V Ramasamy, S Senthil, V Meenakshisundaram, and V Gajendran, *Appl. Sci.* **20** (2009) 54.
4. X Lu, X Zhang, and F wang, *Environ. Geol.* **53** (2008) 1475.
5. I Bikit *et al.*, *Radiat. Measur.* **41** (2006) 477.
6. N Cukrov, M Mlakar, V Cuculic, and D Barisic, *Environ. Radioact.* **100** (2009) 497.
7. M Degerlier, G Karahan, and G Ozger, *Environ. Radioact.* **99** (2008) 1018.
8. M R Abdi, S Hassanzadeh, M Kamali, and H R Raji, *Mar. Pollut. Bull.* **58** (2009) 658.
9. H Faghihian, D Rahi, and M Mostajaboddavati, *Radioanal. Nucl. Chem.* **32** (2011) 1.
10. S Khoshbinfar and M Vahabi Moghaddam, *Radiat. Prot. Dosim.* **142** (2010) 332.
11. M R Abdi, M Kamali, and S Vaezifar, *Mar. Pollut. Bull.* **56** (2008) 751.
12. M R Abdi *et al.*, *Iran J. Sci. Tec.* **30** (2006) 259.